

# بهینه‌سازی حایل‌های پایدارشده با میخ با بهره‌گیری از الگوریتم ژنتیک

علی کمال‌پناه<sup>\*</sup> (دانشیار)

احسان آموزش (کارشناس ارشد)

دانشکده‌ی مهندسی عمران و محیط زیست، دانشگاه تربیت مدرس

مهمشی عرض شرف، (اتلسن)، ۱۳۹۵/۱۲/۱۳، (داداشت قلمروی ۲-۳)، دوری ۲، ۳۲، شماره ۲/۱۰۵-۱۱۷، (یادداشت قلمروی ۲)

میخ‌کوبی خاک<sup>۱</sup> یک روش پایدارسازی شیب‌ها و گودبرداری‌هاست، که به دلیل انعطاف‌پذیری، سرعت، و سهولت اجرا و نیز اقتصادی تربودن نسبت به دیگر سیستم‌های پایدارسازی، طی دهه‌های اخیر بسیار مورد توجه قرار گرفته است. یکی از مزیت‌های دیوارهای پایدارشده با میخ، امکان صرفه‌جویی اقتصادی است. بنابراین طراحی بهینه‌ی چنین سیستم‌هایی باید با دقت خاصی انجام پذیرد. در این پژوهش ضمن تأمین پایداری‌های کلی و داخلی حایل‌های پایدارشده با میخ، کاهش هزینه‌ی ساخت به عنوان یک مسئله‌ی بهینه‌سازی مورد بررسی قرار گرفته است. بدین منظور برنامه‌ی به زبان Matlab تهیه شده است، که در آن برای عملیات بهینه‌سازی از الگوریتم ژنتیک استفاده شده است. با استفاده از این برنامه، اثر برخی پارامترهای مهم قیمتی، از جمله هزینه‌ی حفاری چاله‌ها، فولاد و بتن پاشیده (شاتکریت)، در طراحی بهینه مورد بررسی و تحلیل قرار گرفته است.

**واژگان کلیدی:** بهینه‌سازی، میخ‌کوبی خاک، الگوریتم ژنتیک، پایداری کلی، پایداری داخلی.

a.panah@modares.ac.ir  
eh.amoozesh@yahoo.com

## ۱. مقدمه

مختلف، توسط این برنامه انجام شده و سپس مدل‌سازی همان طرح‌ها به کمک برنامه‌های دیگری از جمله نرم‌افزار تخصصی و شناخته‌شده‌ی SNAILZWin صورت پذیرفته و در نهایت، کنترل دستی انجام و در مجموع، نتایج مشابهی مشاهده شده است.

## ۲. مطالعات پیشین

طبق مطالعات نگارندهان، تاکنون مطالعات چندانی درخصوص طراحی بهینه‌ی میخ‌کوبی خاک انجام نشده است. مطالعات قبل ذکر در این زمینه به این شرح است: در پژوهشی در سال ۱۹۹۵، یک روش طراحی برای شیب‌های پایدارشده با میخ، پیرو روش اصلاح‌شده‌ی تعادل حدی جانبو<sup>[۱]</sup> (۱۹۷۳) ارائه شده است، که در آن کمینه‌ی نیروی تقویتی لازم برای رسیدن به یک ضریب اطمینان مطلوب با درنظرگرفتن جهت میخ‌ها و توزیع نیروهای تقویتی به عنوان متغیرهای طراحی و موقعیت بهینه‌ی میخ‌ها با تغییردادن محل آنها به دست آمده است. در مطالعه‌ی یادشده، توجه کاملی به جنبه‌های مختلف مانند: موقعیت، طول، قطر، و جهت بهینه‌ی میخ‌ها نشده است.<sup>[۲]</sup> در پژوهش دیگری نیز در سال ۲۰۰۵، روشهای برای طراحی بهینه‌ی میخ‌کوبی خاک با توجه به موقعیت، اندازه (طول و قطر) و شیب میخ‌ها ارائه شده است، که در آن فقط هزینه‌ی فولاد مصرفی برای میخ‌ها در نظر گرفته شده و بهینه‌سازی با

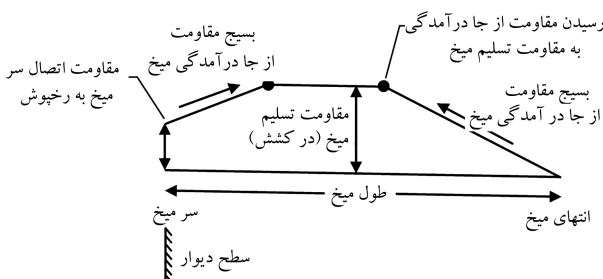
مفهوم اصلی میخ‌کوبی خاک، تسلیح و مقاوم‌سازی خاک با نصب میلگرد‌های فولادی نزدیک به هم که میخ<sup>۲</sup> نامیده می‌شوند، در دیواره‌ی یک شیب و یا گود، در فریبت ساخت از بالا به پایین و یک پارچه‌کردن آنها با خاک محل به واسطه‌ی تزریق دوغاب سیمان است.<sup>[۳]</sup> اساس این شیوه، بسیج مقاومت کششی تقویت فولادی در اثر تغییرشکل‌های نسبتاً کوچک در خاک پیرامونی است.<sup>[۴]</sup> در این روش، نایهیه تقویت‌شده‌ی در خاک ایجاد می‌شود، که مانند یک دیوار حایل وزنی عمل می‌کند و می‌تواند تقدیم‌ی خاک پشت سر خود را نگهداری کند.<sup>[۵]</sup>

هنگامی که تصمیم به پایدارسازی یک شیب یا گود با میخ‌کوبی خاک گرفته می‌شود، لازم است برای طراحی سیستم، ضمن رعایت الزامات فنی، تحلیل هزینه‌ی نیز انجام شود. معمولاً تعیین ابعاد و موقعیت میخ‌ها و مشخصات رخوش با ملاحظات تأمین فنی و اقتصادی، طراحان را با دشواری‌هایی مواجه می‌کند. در واقع بهینه‌سازی مسئله با توجه به تعدد و تنوع پارامترهای طراحی بسیار حائز اهمیت است و این، موضوع پژوهش حاضر است. در این پژوهش با تدوین برنامه‌ی رایانه‌یی با بهره‌گیری از الگوریتم ژنتیک، امکان بهینه‌سازی طراحی دسته‌ی وسیعی از دیوارهای پایدارشده با میخ فراهم شده است؛ که پس از تهیه‌ی برنامه‌ی موردنظر، ابتدا برای صحبت‌سنگی، طراحی میخ‌کوبی چندین نمونه دیواره‌ی گود با مشخصات

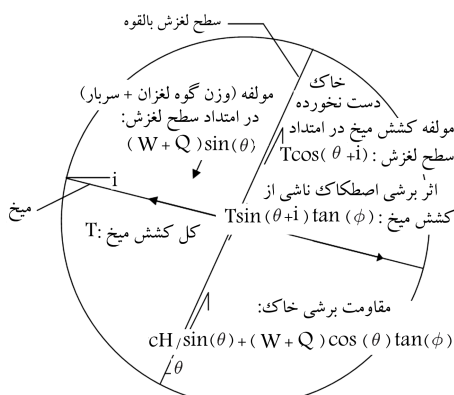
\* نویسنده مسئول

تاریخ: دریافت ۲۵/۱/۱۳۹۳، /صلاحیه ۱۰/۸/۱۳۹۳، پذیرش ۲۴/۸/۱۳۹۳.

استفاده از شیوه‌های سنتی اند تا  
جه حیندانه، نشده است.<sup>[۵]</sup>



شکل ۲. نمودار توزیع کشش در میخ<sup>[۷]</sup>.



شکل ۳. اندرکنش میخ و سطح لغزش و مؤلفه‌های نیرو در تحلیل پایداری کلی.<sup>[۷]</sup>

- مؤلفه‌ی کشش موازی با سطح لغزش میخ‌هایی که از سطح لغزش می‌گذرند ( $T \cos(\theta + i)$ ), که در آن، زاویه‌ی شیب میخ‌ها نسبت به افق است.
  - مقاومت اصطکاکی افزوده که در خاک‌های با مقادیر  $\phi$  غیر صفر، از طریق مؤلفه‌ی عمود بر سطح لغزش کشش میخ‌های عبوری از آن ایجاد می‌شود. این مؤلفه‌ی کشش برابر با  $T \sin(\theta + i)$  است. که مقاومت افزوده‌ی معادل  $T \sin(\theta + i) \tan(\phi)$  به وجود می‌آورد.
  - ۴. مجموع نیروی مقاوم در امتداد سطح لغزش ( $F_r$ ) که در گام ۳ محاسبه می‌شود، با نیروی محرک موازی با این سطح ( $F_d$ ) مقایسه می‌شود. نیروی محرک متناسب با مجموع وزن توده‌ی خاک ناپایدار، وزن رخپوش، و سربار است که در گام ۱ تعیین می‌شوند.
  - با توجه به توضیحات ذکرشده، برای یک دیوار میخ‌کوبی شده با زاویه‌ی  $\alpha$  نسبت به امتداد قائم، ارتفاع  $H$ , شیب خاکریز پشت دیوار  $\beta$  و با  $n$  ردیف میخ، ضریب طیمنان در مقابله گسختگی، گوهه‌ی ( $FSG$ ) از رابطه‌ی ۱ به دست می‌آید:

$$FS_G = \frac{F_r}{F_d} \quad (\textcircled{v})$$

که در آن،  $F_r$  و  $F_d$  از روابط ۲ و ۳ به دست می‌آید:

$$F_r = \frac{cH \sin(\pi/\mathfrak{r} + \alpha + \beta)}{\cos(\alpha) \sin(\theta - \beta)} + \left( \sum_{k=1}^n (T_i \cos(\theta + i) + T_i \sin(\theta + i) \tan(\phi)) \right) / S_h + (W + Q) \cos(\theta) \tan(\phi)$$

$$F_d = (W + Q) \sin(\theta) \quad (3)$$

### ۳. تحلیل پایداری شبیه‌های میخ‌کوبی شده ۱.۳. بررسی پایداری کلی

تحلیل پایداری کلی توده‌ی خاک میخ‌کوبی شده، معمولاً با استفاده از روش تعادل حدی انجام می‌شود. در این روش همچون تحلیل‌های پایداری شیب سنتی، سطوح لغزش مختلف بررسی و بحرازی ترین سطح لغزش (متناظر با کترین ضریب اطمینان) تعیین می‌شود. پژوهشگران مختلف، شکل‌های متفاوتی برای سطح گسیختگی فرض کردند. از جمله می‌توان به سطوح مستوی، دو سویه با توده‌ی لغزان دو گوشه‌ی، سه‌می‌گون، اسپیرال لگاریتمی، و دایره‌ی اشاره کرد. اما مقایسه‌های عددی روش‌های مختلف نشان داده است که تفاوت در هندسه‌ی سطح گسیختگی باعث اختلاف قابل توجهی، در ضرایب اطمینان نمی‌شود.<sup>[۱]</sup>

در ادامه، اصول تحلیل پایداری کلی با استفاده از روش گوآ آزمایشی ارائه شده است. زیرا گذشته از سادگی روش، نتایج آزمایش‌های دو دیوار پایدارشده با مسیح (مهرست و دیوار شماره‌ی ۱ کلوتر)، دلیلی برای اثبات سطوح لغزش تقریباً خطی و نسبتاً تند هستند.<sup>[۷]</sup>

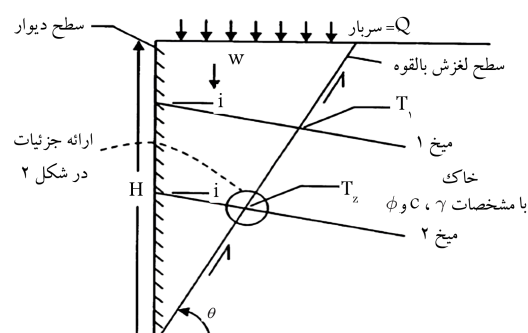
برای شروع تحلیل، مطابق شکل ۱، یک سطح لغزش بالقوه، به صورت خطی با زاویه‌ی شب  $\theta$  نسبت به افق مشخص و سپس این فرایند طی می‌شود:<sup>[۷]</sup>

۱. وزن خاک محصور در گوهی آزمایشی و وزن رخپوش ( $W$ ) و برائیند سربار ( $Q$ )،  
به ازاء واحد طول دیوار محاسبه می شود.

۲. برای میخ‌هایی که از سطح لغزش عبور می‌کنند، کشش در محل تقاطع با سطح لغزش تعیین می‌شود. بدین منظور می‌توان از نمودار ساده‌شده توزیع کشش در طول میخ، که از سوی اداره فدرال بزرگراه‌های آمریکا (FHWA) ارائه شده است و در شکل ۲ مشاهده می‌شود، استفاده کرد. این نیرو باید بر فاصله‌ی افقی میخ‌ها تقسیم شود تا کشش میخ به ازاء واحد طول دیوار ( $T$ ) به دست آید.

۳. مجموع نیروی مقاوم برشی در امتداد سطح لغزش محاسبه می شود. این مقاومت، همان طوری که در شکل ۳ نشان داده شده است، ناشی از این عوامل است:

- مقاومت برشی ایجاد شده در امتداد سطح لغزش در اثر مقاومت اصطکاکی خاک (که با زاویه ای اصطکاک  $\phi$  نمایش داده می شود) و چسبندگی ذاتی خاک قرار از نسبت میزانها ( $C$ ).



شکل ۱. مقطع دیوار پایدار شده یا میخ در تحلیل پایداری کلی.

چنانچه مطابق شکل ۴، میخ تحت اثر نیروی کششی  $T$  در یک انتهای خود قرار داشته باشد، با اعمال تعادل نیروها در قطعه‌ی  $dx$  با جزء طول  $dx$ ، رابطه‌ی ۵ را خواهیم داشت:

$$dT = \pi D_{DH} q dx = Q dx \quad (5)$$

بنابر رابطه‌ی ۵، نیروی کششی در فاصله‌ی  $x$ ، با استفاده از رابطه‌ی ۶ محاسبه می‌شود:

$$T(x) = \int_0^x \pi D_{DH} q dx = \int_0^x Q dx \quad (6)$$

چنان‌که در شکل ۴ نشان داده شده است، توزیع واقعی تنش پیوستگی، یکنواخت نیست و به عواملی مانند: طول میخ، مقدار نیروی کششی اعمالی، مشخصات دوغاب و شرایط خاک بستگی دارد. اما اغلب فرض می‌شود توزیع تنش در طول میخ یکنواخت باشد، که نتیجه‌ی آن نخ ثابت انتقال بار ( $Q$ ) است. با این فرض، نیروی میخ در انتهای طول از جا درآمدگی ( $L_p$ )، از رابطه‌ی ۷ بدست می‌آید:

$$T(L_p) = T_0 = Q L_p \quad (7)$$

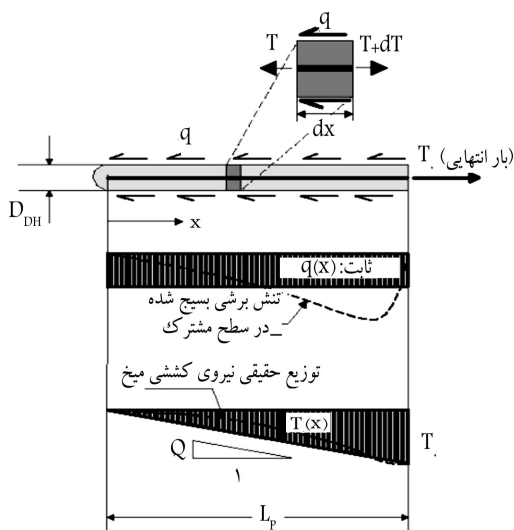
هنگامی که مقاومت پیوستگی نهایی حاصل شده باشد، ظرفیت از جا درآمدگی ( $R_p$ ) بسیج شده است (رابطه‌ی ۸):

$$R_p = T_{\max} = Q_u L_p \quad (8)$$

که در آن،  $L_p$  طولی از میخ است که در پشت سطح گسیختگی قرار دارد و  $q_u$  مقاومت پیوستگی نهایی بوده و  $Q_u$  نیز ظرفیت از جا درآمدگی به ازاء واحد طول یا نخ نهایی انتقال بار است که از رابطه‌ی ۹ بدست می‌آید:

$$Q_u = \pi q_u D_{DH} \quad (9)$$

مقاومت پیوستگی به عواملی مانند نوع خاک و روش نصب میخ بستگی دارد. در منابع مختلف، روابط و یا مقادیری (براساس عوامل یادشده) برای  $q_u$  و یا  $Q_u$  ذکر شده است. به عنوان مثال در جدول ۳.۱۰ از مرجع [۱۰]، براساس عوامل یادشده مقادیری برای مقاومت پیوستگی پیشنهاد شده است و یا در مرجع [۱۲]، نمودارهایی



شکل ۴. انتقال تنش در میخ تحت نیروی  $T_0$  در یک انتهای آن. [۱۰]

باید توجه داشت که در روش گوه آزمایشی، نیروهای محرک و مقاوم به ازاء واحد طول دیوار محاسبه می‌شوند. مطالعات مختلف، از جمله کار تحلیلی انجام شده‌ی در سال ۱۹۹۲، [۱۱] ناچیزبودن مقاومت برشی افزوده ناشی از خمس میخ‌ها نشان داده است. به علاوه، این مکانیسم تقویت، نیاز به تغییرشکل‌هایی در خاک دارد که با آنچه برای بسیج‌کردن کشش میخ لازم است، ناسازگار است. بنابراین با فرضی واقع‌گرایانه، در روش تحلیل یادشده از آن صرف‌نظر شده است.

با تغییر زاویه‌ی  $\theta$  و تکرار فرایند یادشده، سطوح لغزش مختلف بررسی می‌شود و پس از تعیین سطح لغزش بحرانی، با مقایسه‌ی ضربی اطمینان مربوط و مقدار کمینه‌ی در نظر گرفته شده، در صورت لزوم باید طول میخ‌ها، آرايش آنها و یا قطر چاله تغییر داده شود و فرایند کترل پایداری دوباره انجام شود. محدوده‌ی کاربرد روش تحلیلی ذکر شده، کلیه‌ی شرایطی است که مناسب پایدارسازی به کمک میخ‌کوبی خاک هستند، جز آنکه بارهای دینامیکی و وجود سفره‌ی آب زیرزمینی در نظر گرفته نشده است، که البته در شرایط وجود آب زیرزمینی اصولاً استفاده از این روش پایدارسازی توصیه نمی‌شود. [۱۲]

### ۲.۳. بررسی پایداری داخلی

حالات‌های گسیختگی داخلی مربوط به بروز اشکال در مکانیسم‌های انتقال بار بین خاک، میخ و دوغاب می‌شود. هنگامی که سیستم دیوار پایدار شده با میخ در طی گودبرداری تغییرشکل می‌دهد، مقاومت پیوستگی میان دوغاب و خاک از اطراف میخ‌ها بسیج می‌شود. با بسیج مقاومت پیوستگی، نیروهای کششی در میخ ایجاد شده برای ارزیابی حالات‌های گسیختگی داخلی، باید بیشینه‌ی نیروی کششی ایجاد شده در میخ‌ها با ظرفیت‌های مربوط مقایسه شود. اندرکش خاک - میخ پیچیده است و مطالعات تئوری و تجربی بسیاری توسط پژوهشگران مختلف، [۱۳-۱۵] در این زمینه انجام شده است. نیروهای کششی بیشینه، عموماً در نزدیکی سطح گسیختگی بحرانی یافته شده در فرایند تحلیل پایداری کلی ایجاد می‌شوند و فرض انتظام محل نیروهای بیشینه براین سطح منطقی است. براساس نتایج بررسی نیروهای کششی محاسبه شده در دیوارهای واقعی توسط Byrne و همکارانش [۱۹۹۸]، در دو سوم بالایی دیوار مقدار  $5,75K_a\gamma H S_V S_H$ ، (که در آن،  $K_a$  ضربی فشار محرک خاک،  $\gamma$  وزن مخصوص طبیعی خاک،  $H$  ارتفاع دیوار،  $S_V$  و  $S_H$  به ترتیب فاصله‌ی قائم و افقی میخ‌ها هستند)، و در بخش پایینی، نصف این مقدار را برای نیروی کششی بیشینه می‌توان در نظر گرفت (برای شرایط خدمت). در ادامه، مهم‌ترین حالات‌های گسیختگی داخلی بررسی شده‌اند.

### ۲.۳. مقاومت از جا درآمدگی میخ

مهم‌ترین حالت گسیختگی داخلی، از جا درآمدگی میخ است. این مذکور گسیختگی عمولاً در طول سطح مشترک خاک - دوغاب رخ می‌دهد و هنگامی اتفاق می‌افتد که مقاومت پیوستگی و یا طول میخ کافی نباشد.

ضمناً باید به مقاومت پیوستگی بین دوغاب و میخ نیز توجه شود. چنانچه از میلگرددهای آج دار برای میخ‌ها استفاده شود، در مقایسه با میلگردهای ساده، این پیوستگی مکانیکی افزایش خواهد یافت.

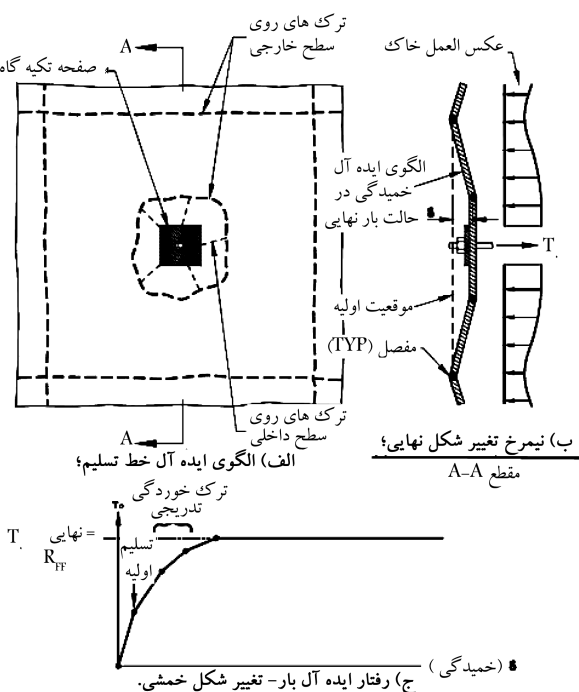
در حالت کلی نیروی بسیج شده در مقابل از جا درآمدگی را به ازاء واحد طول، می‌توان به صورت رابطه‌ی ۴ بیان کرد:

$$Q = \pi q D_{DH} \quad (4)$$

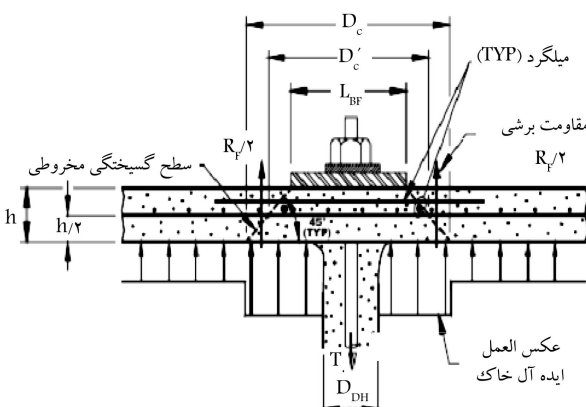
که در آن،  $q$  تنش برشی بسیج شده در سطح مشترک خاک و میخ و  $D_{DH}$  قطر میانگین و یا مؤثر چاله‌ی میخ است.

نیروهای تکیه‌گاهی آن، کشش میخ هاست. این سیستم با رو عکس العمل، باعث ایجاد لنگرهای خمشی مثبت در فواصل بین میخها و لنگرهای منفی در نواحی اطراف میخها می‌شود. گسیختگی خمشی، مربوط به افزایش خمش نسبت به ظرفیت خمشی رخپوش است و با ایجاد ترک‌هایی مشخص می‌شود. پس از تسليم اولیه‌ی رخپوش و با افزایش فشار جانبی خاک، گسترش ترک‌ها در هر دو سوی رخپوش اتفاق می‌افتد. سرانجام در شرایطی که ظرفیت نهایی حاصل شده باشد، تمام این ترک‌ها به هم می‌بینند، مانند مفصل‌هایی عمل می‌کنند، و مکانیسمی را شکل می‌دهند که الگوی خط تسليم بحرانی<sup>۵</sup> نامیده می‌شود (شکل ۵).

در این فرایند، نیروی کششی میخ‌ها و تغییرشکل‌ها نیز افزایش می‌یابند. گسیختگی موضعی رخپوش در اثر برش سوراخ کننده نیز هنگامی که نیروی میخ‌ها به یک مقدار بحرانی برستند، در اطراف میخ‌ها و در سطحی مخروطی شکل اتفاق می‌افتد. وجه‌های این مخروط ناقص، مطابق شکل ۶، با شیبی حدود ۴۵ درجه از پشت صفحه‌ی تکیه‌گاه میخ، در ضخامت رخپوش ایجاد می‌شوند. تحلیل در این شرایط نیز همانند



شکل ۵. گسیختگی خمشی تدریجی در رخپوش.<sup>[۴]</sup>



شکل ۶. گسیختگی رخپوش در اثر برش سوراخ کننده.<sup>[۴]</sup>

برای تخمین این پارامتر براساس نتایج آزمایش نفوذ مخرب (CPT) ارائه شده است. همچنین می‌توان از نتایج آزمایش از جا درآمدگی میخ‌ها برای این منظور استفاده کرد و به اعداد قابل اعتمادتری رسید.

به دلیل عدم قطعیت‌های موجود در خصوص مقاومت پیوستگی و اندرکنش خاک و دوغاب، با درنظرگرفتن ضربی اطمینانی ( $FS_p$ )، مقدار مجاز مقاومت پیوستگی و ظرفیت از جا درآمدگی به ازاء واحد طول، با استفاده از روابط ۱۰ و ۱۱ محاسبه می‌شوند:

$$q_{ALL} = \frac{q_u}{FS_p} \quad (10)$$

$$R_{p_{ALL}} = \frac{R_p}{FS_p} \quad (11)$$

در فرایند کنترل پایداری کلی دیوار، طول قابل قبول میخ‌ها و نقش تقویتی آنها با توجه به ضربی اطمینان در مقابل از جا درآمدگی در نظر گرفته می‌شود.<sup>[۱]</sup>

## ۲.۲.۳. مقاومت کششی میخ

بارهای اعمالی به میخ‌ها در اثر حرکت به سمت بیرون دیوار در هنگام گودبرداری ایجاد می‌شوند. بخشی از میخ که در پشت سطح گسیختگی (ناحیه‌ی مهار) قرار دارد، به سمت خارج شیب کشیده می‌شود. نیروی کششی ( $T$ ) در طول میخ بدین صورت تغییر می‌کند که با مقدار صفر در انتهای میخ آغاز می‌شود، تا مقدار  $T_{max}$  در میانه‌ی طول افزایش و به مقدار  $T$  در رخپوش کاشه می‌یابد.

گسیختگی کششی میخ هنگامی اتفاق می‌افتد که بیشینه‌ی نیروی محوری ایجاد شده در میخ بیشتر از ظرفیت کششی آن ( $R_T$ ) باشد. ظرفیت کششی میخ با استفاده از رابطه‌ی ۱۲ مشخص می‌شود:

$$R_T = A_t f_y \quad (12)$$

که در آن،  $A_t$  سطح مقطع میلگرد و  $f_y$  تنش تسليم آن است. به علت اختلاف سختی (مدول کشسانی) دوغاب و میخ، از ظرفیت کششی دوغاب صرف نظر می‌شود. به دلیل عدم قطعیت‌های مربوط به مقاومت مصالح و بارهای اعمالی، با اعمال ضربی اطمینان ( $FS_T$ )، ظرفیت کششی میخ به صورت رابطه‌ی ۱۳ محاسبه می‌شود:

$$R_{T_{ALL}} = \frac{R_T}{FS_T} \quad (13)$$

همان‌گونه که بیشتر نیز یاد شده است، کمینه‌ی قطر لازم برای میلگردها با توجه به ضربی اطمینان در مقابل کشش تعیین می‌شود.<sup>[۹]</sup>

## ۴. حالت‌های گسیختگی مربوط به رخپوش<sup>۳</sup> (طراحی رخپوش)

معمول ترین حالت‌های گسیختگی بالقوه در رخپوش و در محل اتصال میخ‌ها به آن عبارت اند از:

۱. گسیختگی خمشی.

۲. گسیختگی در اثر برش سوراخ کننده.<sup>۴</sup>

رخپوش دیوارهای پایدار شده با میخ را که معمولاً شاتکریت مسلح است، می‌توان به عنوان یک دال بتی مسلح در نظر گرفت، که باگذاری آن فشار جانبی خاک و

ه) با توجه به مقدار کمتر ( $a_n + a_m$ ) در راستای افق و یا قائم، مقاومت خمشی رخپوش از رابطه‌ی  $20$  تعیین می‌شود:

$$R_{FF}[\text{kN}] = 1,6 \times C_F \times (a_n + a_m) [\text{mm}^3/\text{m}] \times h[\text{m}] \quad (20)$$

که در آن،  $C_F$  ضریبی برای منظورکردن توزیع غیریکنواخت فشار خاک پشت رخپوش است و برای رخپوش وقت با ضخامت‌های  $100$  و  $150$  میلی‌متر، به ترتیب برابر با  $2$  و  $1,5$  تعیین می‌شود. این ضریب برای رخپوش وقت با ضخامت  $200$  میلی‌متر و بیشتر و نیز تمام رخپوش‌های دائمی، برابر با  $1$  است.

و) با درنظرگرفتن ضریب اطمینان لازم ( $FS_{FF}$ )، مقاومت رخپوش در مقابل خمش با رابطه‌ی  $21$  کنترل می‌شود:

$$R_{FF} \geq FS_{FF} T. \quad (21)$$

در صورت عدم تأمین شرط ذکر شده (رابطه‌ی  $21$ ، باید پس از افزایش مقدار یک یا چند مورد از عوامل طراحی، شامل مقاومت تسلیم فولاد و یا بتون، ضخامت شاتکریت و مقدار مصالح تسلیح، محاسبات را تکرار کرد.

۵. مقاومت رخپوش در برابر برش سوراخ‌کننده در این فرایند کنترل می‌شود:

الف) ظرفیت رخپوش برای برش سوراخ‌کننده ( $R_{FP}$ ) به صورت رابطه‌ی  $22$

تعیین می‌شود:

$$R_{FP} = C_P V_F \quad (22)$$

که در آن،  $C_P$  ضریب تصحیح برای منظورکردن مشارکت خاک است. چنانچه اثر خاک در نظر گرفته شود، مقدار این ضریب می‌تواند تا  $1/15$  باشد، اما معمولاً از این اثر صرف‌نظر و ضریب تصحیح برابر با  $1$  فرض می‌شود.  $V_F$  نیز برش سوراخ‌کننده‌یی است که در رخپوش تحمل و با رابطه‌ی  $23$  تخمین زده می‌شود:

$$V_F[\text{kN}] = 330 \sqrt{f'_c[\text{MPa}]} \times \pi \times D'_c[\text{m}] \times h_c[\text{m}] \quad (23)$$

که در آن،  $h_c$  ارتفاع مخروط ناقص گسیختگی (برابر با ضخامت شاتکریت) و قطر مؤثر آن در مرکز مقطع است. با توجه به طول انتخاب شده برای صفحه‌ی تکیه‌گاه ( $L_{BP}$ ) و ضخامت شاتکریت ( $h$ ،  $D'_c$  از رابطه‌ی  $24$  به دست می‌آید:

$$D'_c = L_{BP} + h \quad (24)$$

ب) با درنظرگرفتن ضریب اطمینان لازم ( $FS_{FP}$ )، مقاومت رخپوش در برابر برش سوراخ‌کننده با رابطه‌ی  $25$  کنترل می‌شود:

$$R_{FP} \geq FS_{FP} T. \quad (25)$$

در صورتی که رابطه‌ی  $25$  صدق نکند، فرایند یادشده با انتخاب ابعاد بزرگ‌تر و یا مصالح مقاوم‌تر تکرار می‌شود.

یک تاوهی بتنی تحت بارهای متتمرکز انجام می‌شود.<sup>[۱]</sup>

در این مرحله، برای درنظرگرفتن ضریب اطمینان در مقابل وقوع این گسیختگی‌ها، فرایند طراحی رخپوش بتون پاشیده (شاتکریت)، به این صورت طی می‌شود:<sup>[۲]</sup>

۱. نیروی کششی میخ در محل اتصال به رخپوش تعیین می‌شود. براساس راهنمای طراحی کاوتر (۱۹۹۱)، که با توجه به نتایج حاصل از دیوارهای آزمایشی ارائه شده است، با استفاده از رابطه‌ی  $14$ ، می‌توان نیروی سر میخ را محاسبه کرد:

$$T_* = T_{\max} [0,6 + 0,2(S_{\max} - 1)] \quad (14)$$

که در آن،  $T_*$  نیرو در سر میخ،  $T_{\max}$  نیروی کششی بیشینه‌ی آن، و  $S_{\max}$  بیشینه‌ی فاصله‌گذاری میخ‌ها به متر است. همچنین براساس بررسی نتایج مطالعات تجربی توسط Byrne و همکارانش (۱۹۹۸)، می‌توان مقدار نیروی  $T_*$  را بین  $0,6 K_a \gamma H S V S H$  تا  $0,7 K_a \gamma H S V S H$  در نظر گرفت.

۲. ضخامتی برای رخپوش انتخاب می‌شود (مثلث:  $150$  یا  $200$  میلی‌متر).

۳. سایر مشخصات مربوط به رخپوش، شامل: ابعاد چشمی و قطر شبکه‌ی فلزی جوش شده، قطر میلگردهای افزوده‌ی افقی و قائم در محل سر میخ‌ها، ابعاد صفحه‌ی تکیه‌گاه، و مقاومت تسلیم فولاد و بتون (به ترتیب:  $f_y$  و  $f'_c$ ) انتخاب می‌شود.

۴. مقاومت خمشی رخپوش با این گام‌ها کنترل می‌شود:

الف) کمینه و بیشینه‌ی نسبت تسلیح، به ترتیب با استفاده از روابط  $15$  و  $16$  تعیین می‌شوند:

$$\rho_{\min} [\%] = 20 \frac{\sqrt{f'_c[\text{MPa}]}}{f_y[\text{M}]} \quad (15)$$

$$\rho_{\max} [\%] = 0,5 \frac{f'_c[\text{MPa}]}{f_y[\text{M}]} \left( \frac{600}{600 + f_y[\text{MPa}]} \right) \quad (16)$$

ب) سطح مقطع اعضاء تسلیح رخپوش به ازاء واحد طول در هر دو راستای افقی و قائم تعیین می‌شود. در صورت استفاده از میلگردهای افزوده، این پارامتر در محل سر میخ ( $a_n$ ) و در فواصل بین میخ‌ها ( $a_m$ )، به‌طور جداگانه محاسبه می‌شود. مقدار  $a_m$  با توجه به شبکه‌ی فلزی انتخاب شده، مشخص می‌شود و  $a_n$  در راستای قائم از رابطه‌ی  $17$  بدست می‌آید:

$$a_n = a_m + \frac{A_{vw}}{S_H} \quad (17)$$

که در آن،  $A_{vw}$  سطح مقطع میلگردهای افزوده در محل سر میخ در راستای قائم است. برای محاسبه‌ی  $a_n$  در راستای افق نیز می‌توان با اعمال تعییرات لازم از رابطه‌ی  $17$  استفاده کرد.

ج) نسبت تسلیح در محل میخ‌ها ( $\rho_n$ ) و فواصل بین آنها ( $\rho_m$ )، با استفاده از روابط  $18$  و  $19$  محاسبه می‌شود:

$$\rho_n [\%] = \frac{a_n}{bh/2} 100 \quad (18)$$

$$\rho_m [\%] = \frac{a_m}{bh/2} 100 \quad (19)$$

که در آن‌ها،  $h$  ضخامت شاتکریت و  $b$  واحد طول (۱۱ متر) است.

د) در این مرحله کنترل می‌شود که نسبت تسلیح در محل میخ‌ها و فواصل بین آنها، در محدوده‌ی مجاز قرار داشته باشد ( $\rho_{\min} \leq \rho_n, \rho_m \leq \rho_{\max}$ ). در غیر این صورت، با تغییر  $a_m$  و یا  $a_n$ ، شرایط مذکور تأمين می‌شود.

## ۵. الگوریتم ژنتیک

الگوریتم ژنتیک روشی آماری برای بهینه‌سازی از طریق جستجو است. ویژگی‌های خاص این الگوریتم باعث می‌شود که توان آن را یک جستجوگر تصادفی قلمداد کرد. در واقع نظر اولیه‌ی این روش از نظریه‌ی تکاملی داروین الهام می‌گیرد و عملکرد آن بر ژنتیک طبیعی استوار است. اصول اولیه‌ی الگوریتم ژنتیک توسعه هولاند<sup>۶</sup> و همکارانش در دانشگاه میشیگان در سال ۱۹۶۲ ارائه شده است. همچنین گلدبرگ<sup>۷</sup> در سال ۱۹۶۹ تئوری اساسی الگوریتم ژنتیک را ارائه کرده و آن را که تا آن زمان در مورد سیستم‌های طبیعت به کار می‌رفته است، به مسائل مهندسی تعمیم داده است. در سال ۱۹۹۰ این<sup>۸</sup> و همکاران، همگرایی الگوریتم ژنتیک را با استفاده از روش آنالیز زنجیره‌ی مارکوف اثبات کردند. در سال ۱۹۹۱ کوزا<sup>۹</sup> و در سال ۱۹۹۲، کریشاک‌ومار<sup>۱۰</sup> از الگوریتم ژنتیک برای برنامه‌نویسی کامپیوترو حل مسائل مهندسی استفاده کردند.<sup>[۱۱]</sup>

### ۱.۵. مفاهیم اولیه در الگوریتم ژنتیک

#### ۱.۱.۵. کد کردن

الگوریتم ژنتیک به جای اینکه بر روی پارامترها یا متغیرهای مسئله کار کند، با شکل کدشده‌ی آنها به طور مناسب سروکار دارد. متدالول ترین روش کدگذاری، استفاده از اعداد باینری است، که در آن پارامترها با دنباله‌های مناسب از اعداد ۰ و ۱ جایگزین می‌شوند.

#### ۲.۱.۵. رشته

یک رشته، دنباله‌یی از بیت‌های است که به عنوان شکل کدشده‌ی یک جواب ممکن (مناسب یا نامناسب) از مسئله موردنظر است.

#### ۳.۱.۵. جمعیت

مجموعه‌یی از رشته‌ها را جمعیت گویند. یکی از ویژگی‌های الگوریتم ژنتیک این است که به جای تمرکز بر روی یک نقطه از فضای جستجو یا یک رشته، بر روی جمعیتی از رشته‌ها کار می‌کند.

#### ۴.۱.۵. مقدار برازنده‌گی

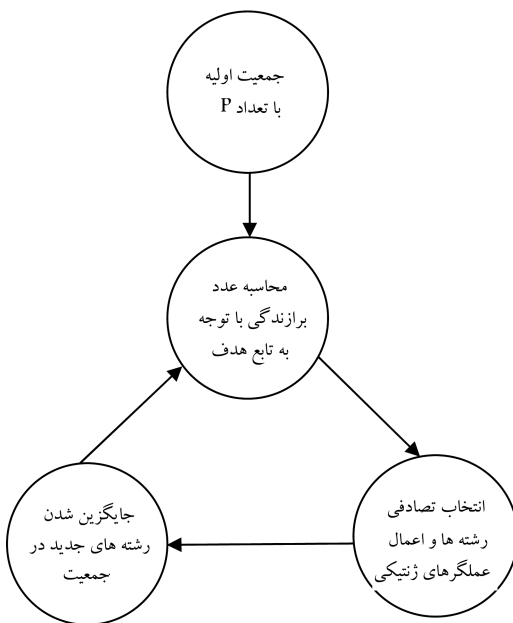
مناسب بودن یا نبودن جواب، با معیاری که از تابع هدف به دست می‌آید، سنجیده می‌شود. هر چه یک جواب مناسب تر باشد، مقدار برازنده‌گی بیشتری دارد. برای آنکه شناسن بقای چنین جوابی بیشتر شود، احتمال بقای آن مناسب با مقدار برازنده‌گی آن در نظر گرفته می‌شود. بنابراین رشته‌یی که برازنده‌تر است، با احتمال بیشتری در تولید رشته‌های جدید شرکت می‌کند.

به طور خلاصه در الگوریتم ژنتیک ابتدا متغیرهای مسئله موردنظر و تعداد جواب‌های ممکن برای هر متغیر تعیین می‌شود. متغیرها با توجه به تعداد جواب‌های ممکن آنها به کد باینری تبدیل و سپس متغیرهای کدشده، در یک رشته پشت سر هم قرار داده می‌شوند. بدین ترتیب، هر رشته، یک نقطه از فضای حل را نشان می‌دهد. نمودار گردشی اجرای الگوریتم ژنتیک در حالت کلی در شکل ۷ نشان داده شده است.

در هر دور محاسباتی، ۳ عملگر اصلی روی رشته‌ها عمل می‌کنند که عبارت‌اند از: دو عملگر ژنتیکی متقاول و عملگر انتخاب.

#### ۵.۱.۵. عملگر ترکیب (Crossover)

برای ترکیب، دو رشته به طور تصادفی و با احتمال  $P_c$  از جمعیت انتخاب می‌شود و سپس در طول ۲ رشته، یک نقطه‌یی تعویضی مشترک به طور تصادفی تعیین و



شکل ۷. سیکل کلی اجرای الگوریتم ژنتیک.

جای ادامه‌ی ۲ رشته در این نقطه‌یی مشترک با هم عوض می‌شود، که این روش را ترکیب یک نقطه‌یی می‌نامند. اگر تعداد نقاط تعویض ۲ یا بیشتر باشد، به ترتیب آنها را ترکیب دو نقطه‌یی یا چند نقطه‌یی گویند، که معادل آن است که عمل ترکیب یک نقطه‌یی در دو یا چند مرحله انجام شود.<sup>[۱۶,۱۷]</sup>

#### ۶. عملگر جهش (Mutation)

رشته‌یابی که تحت عمل ترکیب قرار گرفته‌اند، با احتمال  $P_m$ ، عملگر جهش بر روی آنها اعمال می‌شود. جهش روی یک کاراکتر به صورت تعییر تصادفی آن به یکی از کاراکترهای موجود در مجموعه‌ی الفبای کاراکترها انجام می‌شود. مثلاً اگر رشته‌ها به صورت اعداد باینری به طول  $L$  کدبندی شده باشند، یک عدد تصادفی  $[1, L] \in K$  با توزیع یکنواخت تولید می‌شود. سپس در عدد باینری موردنظر که  $L$  عنصر دارد،  $K$  امین عنصر را مشخص می‌کند و در صورت صفر بودن به ۱ و در صورت ۱ بودن به صفر تبدیل می‌شود. توسط دو عملگر ترکیب و جهش، رشته‌های جدیدی به نام رشته‌های فرزند تولید می‌شوند.<sup>[۱۸]</sup>

#### ۷.۱.۵. مکانیسم انتخاب

پس از تولید رشته‌های فرزند توسط عملگرهای ژنتیک، مجموعه‌یی از رشته‌ها برای دور محاسباتی بعد با تعدادی برابر جمعیت اولیه تعیین می‌شوند. این مجموعه تشکیل شده از کلیه‌ی رشته‌های فرزند (با تعداد  $P_c \times P_c$ ) که تحت عمل ترکیب و جهش قرار گرفته‌اند و تعدادی از رشته‌های مرحله‌ی محدود ( $P_c \times P_c - 1$ ) است. انتخاب این تعداد از رشته‌های اولیه به طور تصادفی از بین رشته‌های با عدد برازنده‌گی بالاتر انجام می‌شود و این مرحله را تکثیر می‌گویند. گلدبرگ روش دیسکرگراند را برای تکثیر ارائه داده است.<sup>[۱۹]</sup> که در آن، یک دیسک که سطح آن مناسب با برازنده‌گی هر رشته تقسیم‌بندی شده است، در مقابل یک نشانه می‌چرخد تا بالآخره متوقف شود و یکی از سطوح در مقابل نشانه قرار گیرد (شکل ۸). به این ترتیب یک رشته انتخاب می‌شود. با تکرار به دفعات مناسب می‌توان رشته‌های لازم برای اعمال عملگرهای ژنتیک را انتخاب کرد (تکثیر با تکرار). شرط خاتمه‌ی الگوریتم را می‌توان تعداد مشخصی تکرار یا رسیدن به مقدار

است و چنانچه در این مورد خطای صورت گیرد، هدف‌های یادشده تأمین نخواهد شد. در صورت استفاده از ضریب نامناسب، به عنوان مثال ممکن است طرحی ضریب اطمینان واحد داشته باشد و فقط به دلیل هزینه‌ی کمتر نسبت به طرحی که ضریب اطمینان مطلوب دارد، شناس بیشتری برای بقا و شرکت در ادامه‌ی فرازینه بھینه‌سازی پیدا کند و یا طرحی هزینه‌ی زیادی داشته باشد ولی به دلیل داشتن ضریب اطمینان بیشتر از میزان مطلوب، مقدار تابع هدف آن به صورت غیرمنطقی کاهش یابد و احتمال شرکت آن در تولید نسل بعد افزایش یابد. باید توجه کرد که ضریب جریمه علاوه بر موارد یادشده نقش دیگری نیز دارد و آن هم مقیاس‌کردن مقدار هزینه و پارامتر جریمه (جمله‌ی دوم در رابطه‌ی ۲۶) است. در واقع می‌توان این ضریب را دارای واحدی مشابه واحد محاسبه‌ی هزینه‌ها در نظر گرفت و در تعیین آن باید دقت کرد که تابع هزینه، نقش اصلی را در تابع هدف و انتخاب طرح بھینه داشته باشد.

با توجه به فلزیندگی اجرایی حاصل‌های پایدارشده با میخ‌های تزیقی، تابع هزینه به صورت رابطه‌ی ۲۷ تعیین می‌شود:

$$Cost = C_e + C_s + C_g + C_{sh} \quad (27)$$

که در آن،  $C_e$  هزینه‌ی حفاری چاله‌ها،  $C_s$  هزینه‌ی فولاد مصرفی برای میخ‌ها،  $C_g$  هزینه‌ی تزریق ملات، و  $C_{sh}$  هزینه‌ی اجرای رخیوش (شامل بتن پاشیده و شبکه‌ی فلزی) است.

در یک پروژه‌ی میخ‌کوبی خاک، پارامترهای هزینه‌ی دیگری مانند تجهیز کارگاه، استقرار دستگاه‌ها، ... نیز وجود دارد، اما با توجه به اینکه سایر هزینه‌ها برای تمامی طرح‌های ممکن تقریباً مقادیر یکسانی دارند، از آنها صرف‌نظر شده است. همان‌گونه که مشخص است، در برنامه‌ی تهیه‌شده به دنبال کمینه‌کردن تابع هدف هستیم.

#### ۱۶. الگوریتم حل مسئله

مراحل اجرای الگوریتم (شکل ۹) و محاسبه‌ی تابع هدف میخ‌کوبی خاک به این صورت است:

مرحله‌ی اول: در این مرحله، این اطلاعات به برنامه داده می‌شود:

-- مشخصات هندسی طرح;

-- مشخصات فیزیکی و مکانیکی خاک؛

-- مقاومت تسلیم فولاد ( $f_y$ ) و مقاومت فشاری بتن ( $f'_t$ );

-- سربار دیوار.

مرحله‌ی دوم: برنامه در این مرحله،  $P$  رشته را به طور تصادفی به عنوان جمعیت اولیه تولید می‌کند، که هر رشته، نشان‌دهنده‌ی یک طرح پایدارسازی با میخ است. همان‌گونه که ذکر شده است، متغیرهای طراحی بھینه‌ی حاصل‌های پایدارشده با میخ شامل: طول ( $l$ )، قطر ( $d$ )، شیب ( $i$ )، فاصله‌های قائم ( $SV$ ) و افقی ( $S_H$ ) میخ‌ها هستند و بازه‌ی تغییرات پارامترهای ذکر شده به این صورت انتخاب شده است:

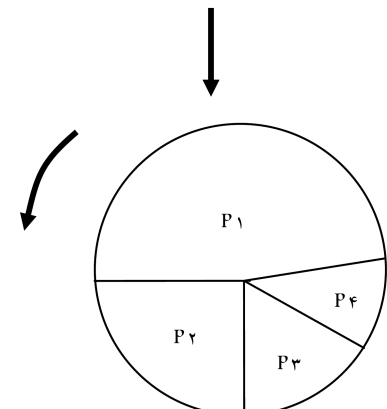
$$(با گام‌های ۵^\circ متر و H ارتفاع دیوار است) \quad ۰,۵H \leq l \leq H$$

$$(بر حسب میلی‌مترا) \quad d \in [۱۹, ۲۲, ۲۵, ۲۹, ۳۲, ۳۶, ۴۳]$$

$$(با گام‌های ۵ درجه) \quad ۰^\circ \leq i \leq 20^\circ$$

$$(با گام‌های ۰,۲۵ متر) \quad ۱m \leq SV \leq ۲m$$

$$(با گام‌های ۰,۲۵ متر) \quad ۱m \leq S_H \leq ۲m$$



شکل ۸. روش دیسگ‌گردن برای انتخاب رشته‌ها.

معینی از برآزندگی قرار داد و بهترین رشته از آخرین نسل را می‌توان به عنوان خروجی در نظر گرفت.

در این پژوهش پس از انجام آنالیزهای حساسیت و با توجه به سرعت همگرایی به طرح بھینه، احتمال ترکیب  $P_c = ۰,۸$ ، احتمال چهش  $P_m = ۰,۰۶۴$  و تعداد جمعیت اولیه  $P = ۳۵$  لحاظ شده است.

#### ۶. بھینه‌سازی حاصل‌های پایدارشده با میخ با تابع هدف مرکب

مشخصات میخ‌کوبی خاک را به صورتی تعیین می‌کنیم که تابع هزینه‌ی آن تحت شرایط طراحی و اجرایی کمترین مقدار را داشته باشد. بدین منظور بردار متغیرهای طراحی ( $D^T$ ) را به صورت  $D^T = d, l, i, SV, S_H$  در نظر می‌گیریم که  $d$  و  $l$  به ترتیب، قطر، طول و شیب میخ‌ها و  $SV$  و  $S_H$ ، فاصله‌گذاری قائم و افقی آنهاست. از آنجایی که باید کمینه‌ی ضریب اطمینان لازم برای پایداری کلی وجود داشته باشد، تابع هدف با ترکیب این قید و تابع هزینه، به صورت رابطه‌ی ۲۶ شکل می‌گیرد:

$$F(D^T) = Cost + S_g(FSGD - FS_G) \quad (26)$$

که در آن،  $FSGD$  کمینه‌ی ضریب اطمینان لازم برای پایداری کلی،  $FS_G$  ضریب اطمینان پایداری کلی طرح موردنظر و  $S_g$  ضریب جریمه‌ی مربوط به این قید است. این ضریب با انجام تحلیل‌های لازم طوری تعریف شده است که مقدار تابع هدف برای رشته‌های (طرح‌های) با ضریب اطمینان کمتر از واحد، بسیار زیاد است، در نتیجه هیچ شانسی برای بقا و شرکت در تولید نسل بعد نداشته باشند، شناس سایر طرح‌های با ضریب اطمینان کمتر از حد مطلوب، به نسبت این اختلاف کاهش یابد، و نیز ضریب اطمینان بیشتر از مقدار لازم باعث بهبود مختصر تابع هدف شود. در واقع هدف از تعریف پارامتر جریمه این بوده است که اولاً طرح‌های با ضریب اطمینان کمتر از واحد حذف شوند، ثانیاً چنانچه ضریب اطمینان مربوط به یک طرح اندکی کمتر از ضریب اطمینان مطلوب باشد، از آن طرح صرف نظر نشود و با درنظر گرفتن مقادیر افزایش در تابع هدف، شناس شرکت در تولید نسل بعد را داشته باشد. ثالثاً اگر دو طرح با مقدار هزینه‌ی بسیار نزدیک به هم وجود داشته باشد، طرحی که ضریب اطمینان بالاتری دارد، مقدار تابع هدف کمتر و در نتیجه شناس بیشتری برای تولید رشته‌های نسل بعد داشته باشد. تعیین مقدار مناسب ضریب جریمه بسیار مهم

این مرحله، طرح با کمترین تابع هدف به عنوان جواب مسئله معرفی می شود.  
مرحله‌ی دهم: برای تولید نسل جدید، پس از تعیین برازنده‌گی رشته‌ها، عمل گر ترکیب آغاز می شود.

در تمام مراحلی که رشته های جدید تولید می شوند، قرارگرفتن متغیرهای طراحی در محدوده های موردنظر کنترل می شود.

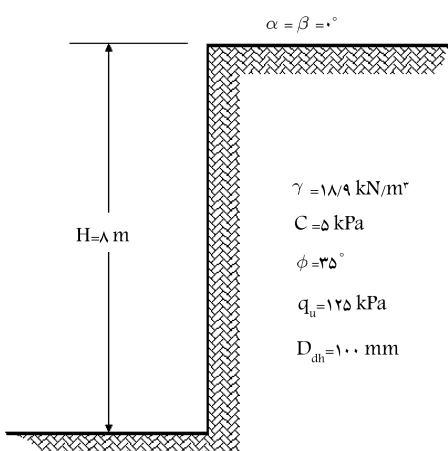
**مرحله‌ی یازدهم:** رشته‌های جدیدی که با استفاده از عملگرهای ترکیب و جهش بیجاد شده‌اند، دیکشنده، کنترل‌های لازم و طراحی رخپوش برای آنها صورت می‌گیرد. باز دیگر تابع هدف برای هر یک از رشته‌ها محاسبه می‌شود و در واقع مراحل ۳ تا ۱۵ یک چرخه را تشکیل می‌دهند، و به تعداد مناسب تکرار می‌شوند.

۷. مطالعه‌ی موردنی

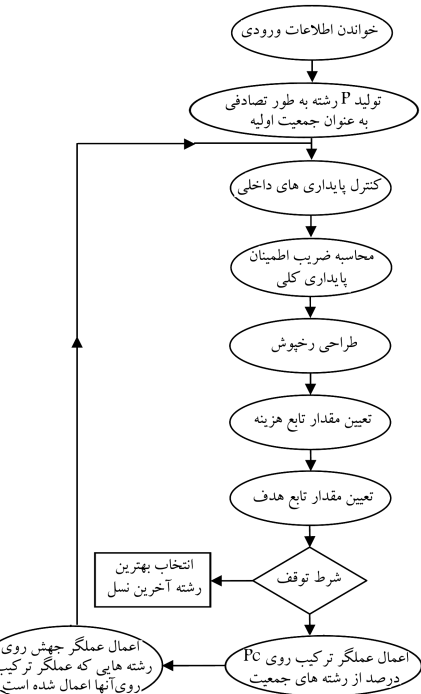
هدف در این مطالعه آن است که با توجه به شرایط هندسی و نیز مشخصات خاک در شکل ۱۰ و با دقت رفتن طول ۱۵۰ متر برای دیوار متغیرهای طراحی میخ-کوبی خاک به کمک فرایند یادشده، طوری یافت شوند که ضمن تأمین پایداری، تابع هدف آن کمینه شود.

منحنی تغییرات بهترینتابع هدف در هر نسل در مقابل تعداد تکرار (تعداد نسل‌ها) در شکل ۱۱ مشاهده می‌شود. در این نوع مسائل، نمودار شبهه‌پله‌یی قابل انتظار و معمول است. در بسیاری از قسمت‌های نمودار مذکور، که به ظاهر به صورت پله‌یی مشاهده می‌شود، تغییر در تابع هدف وجود دارد؛ اما بسیار اندک و در واقع شبیه این تغییرات بسیار کم است. در طول فرایند بهینه‌سازی و با عمال عملگرهای الگوریتم ریتیک، جهش در جهت کاهش مقدار تابع هدف، در هر چند مرتبه تولید نسل و جست‌وجو یک بار اتفاق می‌افتد. همچنین با توجه به شکل مذکور، در مراحل اولیه اجرای برنامه، مقدار تابع هدف با سرعت زیادی کاهش می‌یابد و در انتهای تغییرات این تابع خیلی کم می‌شود. دلیل این امر را می‌توان تنوع زیاد رشته‌ها در مراحل اولیه دانست، که با افزایش تعداد تکرار رشته‌ها به سمت نقطه‌ی بهینه هم‌گرا می‌شوند و تبع آنها نیز کم می‌شود.

پس از تکرار ۳۰ نسل جمعیت، مشخصات طرح بهینه‌ی نهایی به این صورت



شکل ۱۰. مشخصات مطالعه‌ی موردي.



شکل ۹. نمودار گردشی مراحل اجرای برنامه‌ی بهینه‌سازی میخکوبی خاک.

مرحله‌ی سوم: در این مرحله پایداری میخ‌ها در مقابل از جا درآمدگی و کشش، با توجه به توضیحات ذکر شده، کشتل می‌شود. در صورتی که برای میخ یا میخ‌هایی، ضریب اطمینان لازم وجود نداشته باشد، نیروی تقویتی معادل آنها برابر با صفر در نقطه می‌شود و به عبارت دیگر، میخ‌های، مذکور، حذف می‌شوند.

مرحله‌ی چهارم: پس از کشتل پایداری‌های داخلی، ضریب اطمینان پایداری کلی برای هر رشته از جمیعت، براساس فرایند پادشده تعیین می‌شود.

**هر مرحله‌ی پنجم:** در این مرحله، برای هر رشته از جمیعت، براساس روش توضیح داده شده در بند ۴، رخپوش طراحی می‌شود.

مرحله‌ی ششم: پس از طی مراحل ذکر شده، تابع هزینه‌های اجرایی پایدارسازی با میخ، برای هر رشته از جمیعت براساس فهرست بهای واحد پایه‌ی رشته‌ی راه، باند فروگاه و زیرسازی را آهن سال ۱۳۹۲<sup>[۱۷]</sup> و نیز فهرست بهای واحد پایه‌ی رشته‌ی سدسازی سال ۱۳۹۲<sup>[۱۸]</sup> محاسبه می‌شود.

مرحله ای هفتم: در این مرحله، برای هر رشته از جمیعت، با توجه به تابع هزینه و ضریب اطمینان پایداری کلی که در مراحل قبل محاسبه شده‌اند و با استفاده از رابطهٔ ۲۶، مقدار تابع هدف تعیین می‌شود.

مرحله‌ی هشتم: در هر دور محاسباتی، رشته‌های جمعیت براساس مقادیر تابع هدف از کوچک به بزرگ مرتب می‌شوند. سپس به هر رشته یک عدد بازنگری نسبت داده می‌شود، که این عدد مشبّت است و احتمال انتخاب شدن رشته‌ها را (در مرحله‌ی ۱۰ تعیین می‌کند. برای رشته‌ی اول که کمترین مقدار تابع هدف را دارد، عدد  $(p_1 + 1) / 2$ )؛ برای رشته‌ی دوم عدد  $(1 + p_2) / 2$ )؛ برای رشته‌ی سوم عدد  $(1 + p_3) / 2$ ) و... و برای رشته‌ی آخر عدد ۱ به عنوان اعداد بازنگرگفته می‌شوند، که در آن‌ها،  $p$  تعداد رشته‌های جمعیت است.

**مرحله‌ی نهم:** در این مرحله، شرایط توقف برنامه کنترل می‌شود. در این پژوهش، شرط توقف، تعداد تکرار است و اجرای برنامه در تکرار ۳۰ آم متوقف می‌شود. در

$$d = 25\text{mm}, \quad l = 5,5\text{m}, \quad i = 15^\circ, \quad SV = 1,50\text{m},$$

$$S_H = 1,50\text{m}, \quad \text{Cost} = 3,9657 \times 10^8 \text{Rials}$$

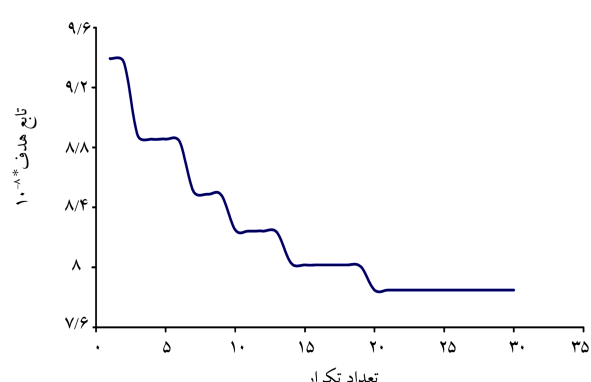
از مقایسه‌ی دو طرح مذکور نتیجه می‌شود که طی فرایند بهینه‌سازی، کاهش هزینه‌ی برابر با  $19,68\%$  ایجاد شده است.

حال برای اطمینان از بهینه‌بودن طرح نهایی، نمودار تغییرات تابع هدف در مقابل هر یک از پارامترهای طراحی رسم می‌شود. بدین منظور هر بار یکی از پارامترها تغییر داده می‌شود، در حالی که سایر پارامترها در مقدار بهینه‌ی خود ثابت هستند. این نمودارها را می‌توان در شکل ۱۲ مشاهده کرد.

همان‌گونه که در نمودارهای شکل ۱۲ مشاهده می‌شود، به ازاء مقدار بهینه‌ی هر یک از متغیرهای طراحی، تابع هدف کمترین مقدار خود را دارد، که این نشان دهنده‌ی انتخاب صحیح طرح بهینه توسط برنامه است. با تغییر نقطه‌ی بهینه، یا هزینه افزایش می‌باید و یا شرایط پایداری تأمین نمی‌شود و در هر دو صورت، مقدار تابع هدف افزایش خواهد یافت. در هر یک از این نمودارها، نقاطی که مقدار تابع هدف در آنها با اختلاف قابل ملاحظه‌ی بیش از سایر نقاط است، نشان‌دهنده طرح‌هایی است که قادر شرایط پایداری هستند و پارامتر جریمه به آنها اعمال شده است.

### ۱.۷ بررسی حساسیت‌های قیمتی میخ‌کوبی خاک

همان‌گونه که پیشتر یاد شده است، در این پژوهش هزینه‌های اجزایی براساس قیمت‌های



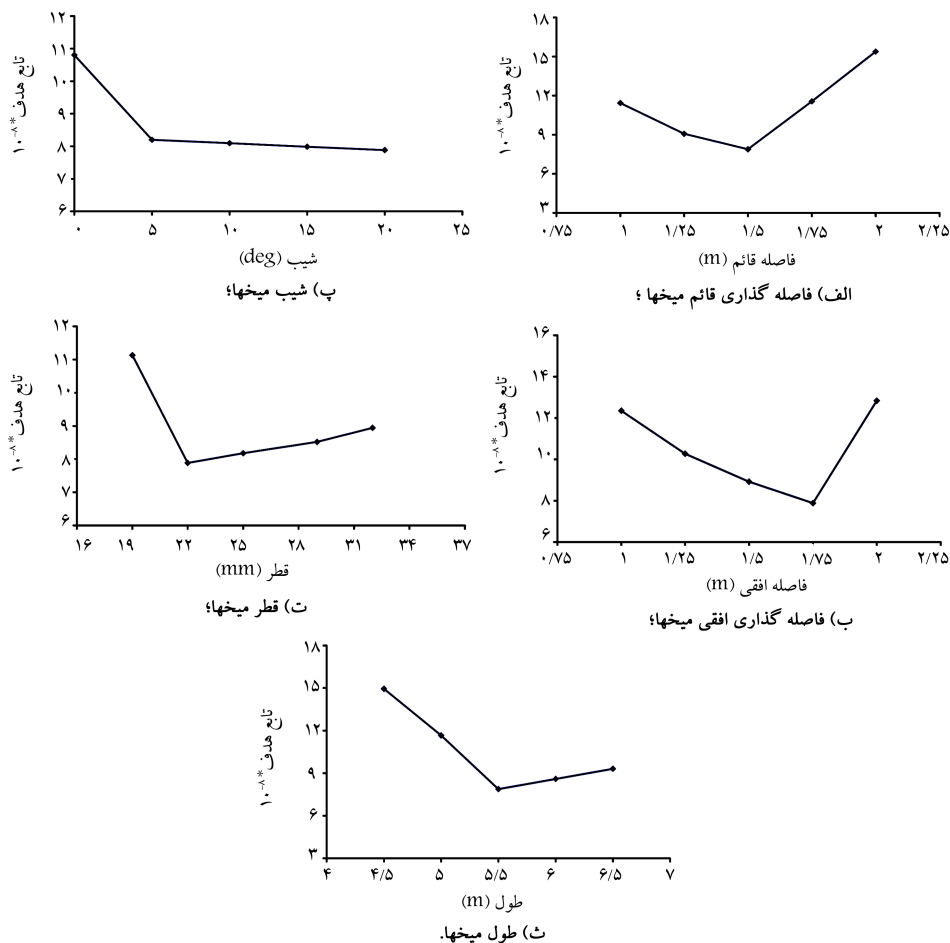
شکل ۱۱. نمایش تغییرات بهترین تابع هدف در هر نسل در مقابل تعداد تکرار.

معرفی می‌شود:

$$d = 22\text{mm}, \quad l = 5,5\text{m}, \quad i = 20^\circ, \quad SV = 1,50\text{m},$$

$$S_H = 1,75\text{m}, \quad \text{Cost} = 3,3136 \times 10^8 \text{Rials}$$

همین مسئله به عنوان یک مثال طراحی در مرجع<sup>[۱]</sup> نیز مورد بررسی قرار گرفته و مشخصات طرح به این صورت ارائه شده است:

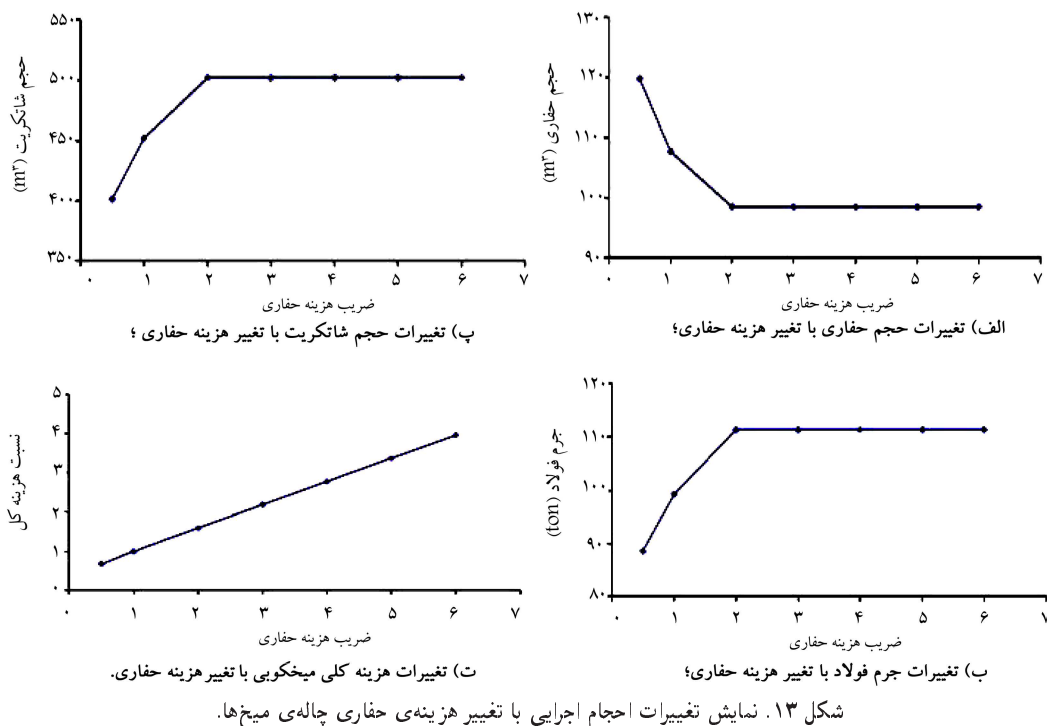


شکل ۱۲. نمایش تغییرات تابع هدف نسبت به پارامترهای طراحی.

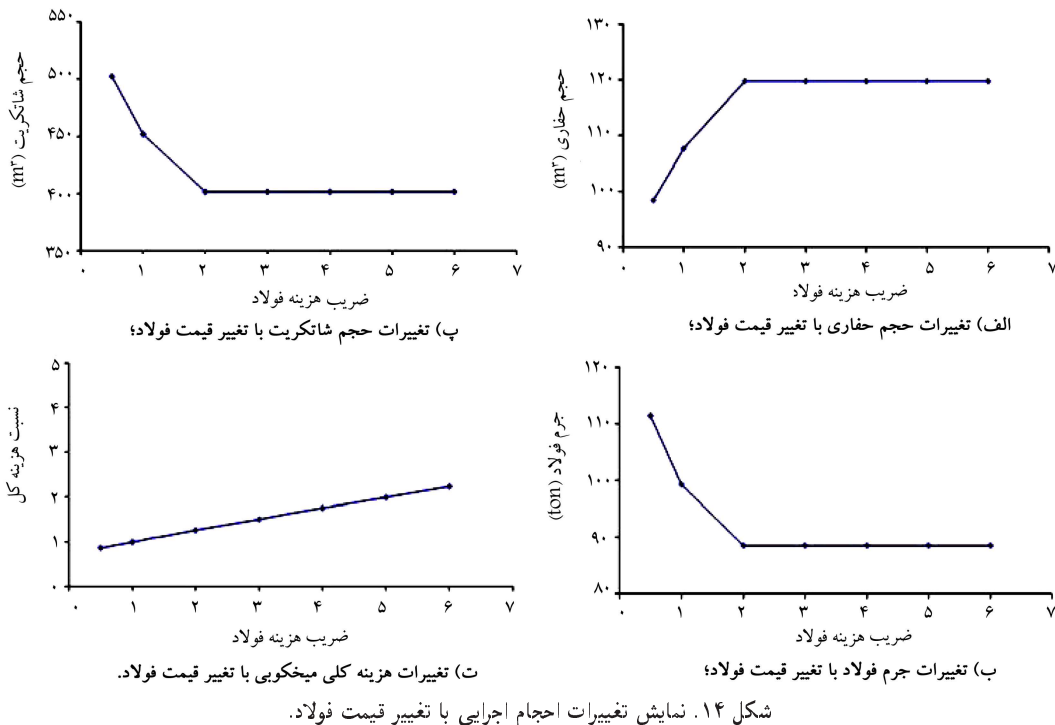
برای این مطالعه، دیواری با ارتفاع ۲۰ متر، طول ۱۰۰ متر و زاویه‌ی شیب ۵ درجه نسبت به امتداد قائم در نظر گرفته شده و مشخصات فیزیکی و مکانیکی خاک نیز به این ترتیب فرض شده است: وزن مخصوص  $18/9 \text{ kN/m}^3$ ، چسبندگی ۵، زاویه‌ی اصطکاک داخلی  $30^\circ$  و مقاومت پیوستگی  $100 \text{ kPa}$ .

شکل‌های ۱۳ الی ۱۵ روند تغییرات احجام اجرایی با تغییر قیمت‌ها و نیز چگونگی تغییرات نسبت هزینه‌ی میخ‌کوبی براساس قیمت‌های ضریب‌دار به هزینه بر مبنای قیمت‌های سال ۱۳۹۲ (برای طرح‌های بهینه‌ی مرتبه) را نشان می‌دهند.

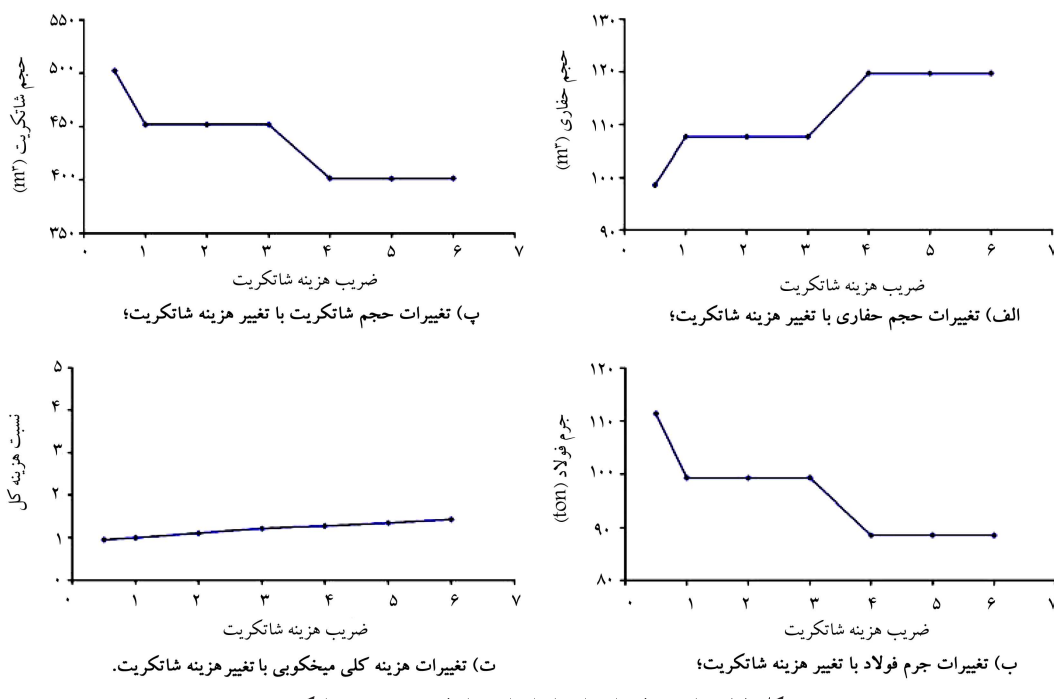
سال ۱۳۹۲ تعیین شده است. در این قسمت ۳ پارامتر مهم در تعیین هزینه‌ی میخ‌کوبی خاک شامل هزینه‌ی حفاری چاله‌ی میخ‌ها (a)، قیمت فولاد (b) و هزینه‌ی اجرای شاتکریت (c) در نظر گرفته شده است. با اعمال ۷ ضریب  $0,5, 0,4, 0,3, 0,2, 0,1$  و  $0,6$  به آنها، حساسیت طراحی بهینه نسبت به تغییر قیمت‌ها مورد بررسی قرار گرفته است؛ بدین صورت که هر بار یکی از این پارامترها به عنوان متغیر انتخاب شده و دو پارامتر دیگر ثابت بوده‌اند (با ضریب قیمتی برایر با ۱) و به ازاء هر یک از این تغییرات، یک مسئله‌ی بهینه‌سازی تعریف شده است.



شکل ۱۳. نمایش تغییرات احجام اجرایی با تغییر هزینه‌ی حفاری چاله‌ی میخ.



شکل ۱۴. نمایش تغییرات احجام اجرایی با تغییر قیمت فولاد.



شکل ۱۵. نمایش تغییرات احجام اجرایی با تغییر هزینه شاتکریت.

جدول ۱. مشخصات طرح‌های بهینه در تحلیل حساسیت‌های قیمتی.

شماره‌ی مسئله	طرح بهینه					هزینه‌ها			
	شیب میخ‌ها (°)	طول میخ‌ها (m)	قطر میخ‌ها (mm)	فاصله‌گذاری افقی (m)	فاصله‌گذاری قایم (m)	شاتکریت	فولاد	حفاری	چاله‌ها
۱	۱۵	۱۷,۵	۲۹	۱/۵°	۱/۵	c	b	۰,۵a	
۲	۱۰	۱۸,۵	۳۲	۱,۷۵	۱/۵	c	b	a	
۳	۱۰	۲۰,۰	۳۶	۱,۷۵	۱/۷۵	c	b	۲a	
۴	۱۰	۲۰,۰	۳۶	۱,۷۵	۱/۷۵	c	b	۳a	
۵	۱۰	۲۰,۰	۳۶	۱,۷۵	۱/۷۵	c	b	۴a	
۶	۱۰	۲۰,۰	۳۶	۱,۷۵	۱/۷۵	c	b	۵a	
۷	۱۰	۲۰,۰	۳۶	۱,۷۵	۱/۷۵	c	b	۶a	
۸	۱۰	۲۰,۰	۳۶	۱,۷۵	۱/۷۵	c	b	۰,۵b	a
۹	۱۵	۱۷,۵	۲۹	۱/۵°	۱/۵	c	۲b	a	
۱۰	۱۵	۱۷,۵	۲۹	۱/۵°	۱/۵	c	۳b	a	۱۰
۱۱	۱۵	۱۷,۵	۲۹	۱/۵°	۱/۵	c	۴b	a	۱۱
۱۲	۱۵	۱۷,۵	۲۹	۱/۵°	۱/۵	c	۵b	a	۱۲
۱۳	۱۵	۱۷,۵	۲۹	۱/۵°	۱/۵	c	۶b	a	۱۳
۱۴	۱۰	۲۰,۰	۳۶	۱,۷۵	۱/۷۵	۰,۵c	b	a	۱۴
۱۵	۱۰	۱۸,۵	۳۲	۱,۷۵	۱/۵	۲c	b	a	۱۵
۱۶	۱۰	۱۸,۵	۳۲	۱,۷۵	۱/۵	۳c	b	a	۱۶
۱۷	۱۵	۱۷,۵	۲۹	۱/۵°	۱/۵	۴c	b	a	۱۷
۱۸	۱۵	۱۷,۵	۲۹	۱/۵°	۱/۵	۵c	b	a	۱۸
۱۹	۱۵	۱۷,۵	۲۹	۱/۵°	۱/۵	۶c	b	a	۱۹

با توجه به شکل‌های ۱۴، ۱۳ و ۱۵، تغییر هزینه‌ی حفاری چاله‌ها بیشترین و تغییر هزینه‌ی شاتکریت کمترین تأثیر را در تغییرات هزینه‌ی تمام‌شده‌ی میخ‌کوبی خاک دارند. با مقایسه‌ی شیب این منحنی‌ها، اثر تغییر هزینه‌ی حفاری بیش از ۲ برابر فولاد و بیش از ۶ برابر شاتکریت است.

## ۸. نتیجه‌گیری

نتایجی که در راستای این پژوهش حاصل و به برخی از آنها به طور ضمنی اشاره شده است، به شرح زیر است:

- در مسائل بهینه‌سازی تعیین تابع هدف بسیار مهم است و انتخاب بهترین پاسخ بستگی به نوع و دقت تابع هدف دارد. در مورد میخ‌کوبی خاک، با توجه به مطالعات حاضر، تابع هدف مرکب از قیدهای فنی (شرطهای پایداری) و هزینه‌های اجرایی توصیه می‌شود.
- با افزایش هزینه‌ی حفاری چاله‌ها، حجم حفاری کاهش نمی‌یابد. این کاهش حجم با افزایش فواصل میخ‌ها اتفاق می‌افتد و تا رسیدن به شرایط بحرانی پایداری ادامه می‌یابد.
- با افزایش قیمت فولاد، حجم فولاد مصرفی و فواصل میخ‌ها کاهش نمی‌یابد. این تغییرات تا رسیدن به طرحی، که درین طرح‌های ممکن کمترین حجم فولاد را دارد، ادامه خواهد یافت.
- با افزایش هزینه‌ی شاتکریت، حجم شاتکریت و نیز فواصل میخ‌ها کاهش نمی‌یابد. این کاهش حجم تا جایی ادامه پیدا می‌کند که هزینه‌ی شاتکریت و هزینه‌ی حفاری چاله‌ها به تعادل برسند.
- تغییر هزینه‌ی حفاری چاله‌ها، فولاد و شاتکریت، به ترتیب بیشترین تأثیر را در تغییرات هزینه‌ی تمام‌شده‌ی میخ‌کوبی خاک دارند.
- الگوریتم زنیک سازگاری مناسبی برای حل مسائل بهینه‌سازی از خود نشان می‌دهد و با تعیین مقادیر مناسب برای پارامترهای الگوریتم زنیک، سرعت هم‌گرایی به طرح بهینه افزایش می‌یابد.

همان‌گونه که در شکل‌های ۱۳ و ۱۴ مشاهده می‌شود، با افزایش هزینه‌ی حفاری چاله از ۰,۵a تا ۲a، حجم حفاری کاهش یافته است، اما وزن فولاد مصرفی برای میخ‌ها و مسلح‌سازی شاتکریت و نیز حجم بتن مصرفی برای شاتکریت افزایش نداشت. با ادامه‌ی افزایش قیمت (از ۲a تا ۶a) تغییری در این احجام ایجاد نشد. با توجه به جدول ۱، که نشان‌دهنده‌ی مشخصات طرح‌های بهینه برای این مسائل است، کاهش حجم حفاری با افزایش فواصل میخ‌ها اتفاق می‌افتد؛ بنابراین توافق تغییر احجام در هزینه‌های بیش از ۲a را باید مربوط به تأمین شرایط پایداری دیوار دانست.

براساس شکل‌های ۱۴ و ۱۵، تغییر قیمت فولاد از ۰,۵b تا ۲b، باعث کاهش وزن فولاد و حجم شاتکریت و افزایش حجم حفاری شده است و پس از آن تغییر حجمی مشاهده نمی‌شود. جدول ۱ نشان می‌دهد که کاهش وزن فولاد با کاهش فواصل میخ‌ها همراه است، که از جمله دلایل آن می‌توان به رابطه‌ی مستقیم مقدار فولاد لازم برای مسلح‌سازی رخپوش و سطح تأثیر (فواصل) میخ‌ها اشاره کرد. با توجه به اینکه طرح بهینه‌ی مربوط به قیمت ۲b در مقایسه با سایر طرح‌های ممکن، کمترین حجم فولاد لازم برای میخ‌ها و اتصال آنها به رخپوش را دارد، توافق تغییر طرح‌ها و در نتیجه احجام اجرایی در هزینه‌های بیش از ۲b توجیه می‌شود.

شکل‌های ۱۴ و ۱۵ نشان می‌دهند که با افزایش هزینه‌ی شاتکریت، در دو مرحله‌ی (۰,۵c تا c و ۲c تا ۴c) حجم حفاری چاله‌ها افزایش و وزن فولاد مصرفی و حجم شاتکریت کاهش یافته است. با توجه به رابطه‌ی مستقیم فواصل میخ‌ها و نیروی کششی ایجادشده در آنها و در نتیجه ضخامت شاتکریت، کاهش حجم شاتکریت باید با کاهش سطح تأثیر میخ‌ها همراه باشد، که جدول ۱ نیز همین را نشان می‌دهد. روند تغییرات در نمودارهای شکل ۱۵ شباهت‌هایی با نمودارهای شکل ۱۴ دارد، با این تفاوت که تدریجی و کندتر اتفاق افتاده و عمل آن تأثیر کمتر هزینه‌ی شاتکریت در هزینه‌ی کلی میخ‌کوبی خاک بوده است، که در ادامه بررسی شده است. باید توجه داشت که رابطه‌ی عکس حجم حفاری چاله‌ها و فواصل میخ‌ها و نیز نقش زیاد هزینه‌ی حفاری در هزینه‌ی کلی طرح، یکی از دلایل مهم نوع تغییرات در شکل‌های مذکور است.

## پانوشت‌ها

## منابع (References)

- soil nailing
- nail
- facing
- punching shear
- critical yield line pattern
- Holland
- Goldberg
- Eiben
- Koza
- Krishakumar
- Demonstration Project 103- Design and Construction Monitoring of Soil Nail Walls, Federal Highway Administration, Publication No. FHWA- IF- 99- 026 (1999).
- Hyung-Joon, S., In-Mo, L. and Seok-Won, L. "Optimization of soil nailing design considering three failure modes", *KSCE Journal of Civil Engineering*, **18**(2), pp. 488-496 (2014).
- Jelusic, P. and Zlender, B. "Soil-nail wall stability analysis using ANFIS", *ACTA Geotechnica Slovenica*, pp.

- 61-73 (2013).
4. Banerjee, S., Finney, A., Wentworth, T. and Bahiradhan, M., *Evaluation of Design Methodologies for Soil-Nailed Walls*, Washington State Department of Transportation, 124 p. (1998).
  5. Patra, C.R. and Basudhar, P.K. "Optimum design of nailed soil slopes", *Geotechnical and Geological Engineering*, **23**(3), pp. 273-296 (2005).
  6. Long, J.H., Chow, E., Cording, E.T. and Sieczkowski, W.J. "Stability analysis for soil nailed walls", *Geotechnical Special Publication, ASCE*, **25**, pp. 676-691 (1990).
  7. Sheahan, T.C. and Ho, C.L. "Simplified trial wedge method for soil nailed wall analysis", *Journal of Geotechnical and Geoenvironmental Engineering, ASCE*, **129**(2), pp. 117-124 (2003).
  8. Jewell, R.A. and Pedley, M.J. "Analysis for soil reinforcement with bending stiffness", *Journal of Geotechnical Engineering, ASCE*, **118**(10), pp. 1505-1527 (1992).
  9. *Geotechnical Engineering Circular No. 7- Soil Nail Walls*, Federal Highway Administration, Publication No. FHWA 0- IF- 03- 017 (2003).
  10. Wentworth, T.D. "Distribution of axial forces in soil nails based on interpolation of measured strains", Master of Science in Engineering Thesis, University of Washington, Seattle, WA. (1994).
  11. Pradhan, B., Tham, L.G., Yue, Z.Q., Junaiden, S.M. and Lee, C.F. "Soil-nail pullout interaction in loose fill materials", *International Journal of Geomechanics, ASCE*, **6**(4), pp. 238-247 (2006).
  12. Turner, J.P. and Jensen, W.G. "Landslide stabilization using soil nail and mechanically stabilized earth walls: Case study", *Journal of Geotechnical and Geoenvironmental Engineering, ASCE*, **131**(2), pp. 141-150 (2005).
  13. *Geotechnical Manual*, Texas Department of Transportation (2006).
  14. Nobakht-Vakili, K. and Fakhimi, A. "Using genetic algorithm to find critical slip surface of soil slopes", Tarbiyat Modares University of Tehran (1998).
  15. Goldberg, D.E., *Genetic Algorithm in Search, Optimization and Machine Learning*, Addison Weley (1989).
  16. Hejazi, F., Toloue, I. and Jaafar, M.S. "Optimization of earthquake energy dissipation system by genetic algorithm", *Computer-Aided Civil and Infrastructure Engineering*, **28**(10), pp. 796-810 (2013).
  17. *Unit Price List of the Road, Runway and Railway Infrastructure*, Roads and Transportation Category (2013).
  18. *Unit Price List of the Dam Construction*, Water Engineering Category (2013).